

Características Anatômicas da Lâmina Foliar e do Colmo de Gramíneas Forrageiras Tropicais, em Função do Nível de Inserção no Perfilho, da Idade e da Estação de Crescimento¹

Domingos Sávio Campos Paciullo², José Alberto Gomide³, Eldo Antônio Monteiro da Silva⁴, Domingos Sávio Queiroz⁵, Carlos Augusto Miranda Gomide⁶

RESUMO - Foram avaliados os efeitos da idade, do nível de inserção da folha no perfilho e da estação de crescimento (verão ou outono), sobre a proporção de tecidos e a espessura da parede celular em lâminas foliares e segmentos de colmo de capim-bracuíria (*Brachiaria decumbens*), capim-gordura (*Melinis minutiflora*) e capim-tifon 85 (*Cynodon sp.*). Lâminas foliares das posições inferiores ao nível do perfilho foram colhidas no dia da exposição à lâmina e 20 dias após. Foram determinadas as proporções relativas de epiderme, flocena, banha parenquimática dos feixes, esclerêncima e mesofilo na lámina foliar. Foram medidas as espessuras das paredes dos vasos de metaxilema e do esclerêncima da lámina e do colmo. A proporção de tecidos em lâminas foliares não foi alterada pela idade nem pela estação de crescimento, sendo a espessura da parede de células de determinados tecidos característica modificada pela idade. Lâminas do nível de inserção superior apresentaram mais elevadas proporções de esclerêncima, banha parenquimática dos feixes e xilema e células do esclerêncima e o metaxilema com paredes mais espessas, enquanto as lâminas do nível de inserção inferior se destacaram por apresentar mais elevada proporção de mesofilo e paredes celulares mais delgadas. Enquanto a idade do colmo e foram maiores, em geral, no verão.

Palavras-chave: anatomia, *Brachiaria decumbens*, *Cynodon spp.*, espessura da parede celular, *Melinis minutiflora*, proporção de tecidos

Anatomical Traits of Leaf Blade and Stem of Tropical Forage Grasses, According to Level of Insertion on the Grass Tiller, Age and Season of Growth

ABSTRACT - An experiment was carried out to evaluate the effect of leaf age and insertion level and season of growth on the tissue proportion and the cell wall thickness of leaf blade and stem segment of signal grass (*Brachiaria decumbens*), molasses grass (*Melinis minutiflora*) and Tifon 85 bermudagrass (*Cynodon sp.*). Leaf blades from bottom and top layers were sampled on the day of ligule exposure and 20 days later. The relative proportion of epidermis, xylem, phloem, parenchyma bundle sheath, sclerenchyma, stem parenchyma and leaf blade mesophyll were estimated. The thickness of cell wall of metaxylem vessels and sclerenchyma cell wall was the only trait to change with age. Leaf from the top layer showed higher proportion of sclerenchyma, parenchyma bundle sheath and xylem as well as thicker cell wall in sclerenchyma and metaxylem, while leaves from the bottom layer had higher proportion of mesophyll and thinner sclerenchyma and metaxylem cell walls. While the parenchyma proportion of the stem decreased, the relative area of the sclerenchyma and the cell wall thickness increased as the plant aged. These traits showed greater values in summer samples.

Key Words: anatomy, *Brachiaria decumbens*, *Cynodon spp.*, cell wall thickness, *Melinis minutiflora*, tissue proportion

parcial (Akín, 1989) e o esclerêncima e o xilema, que apresentam parede celular espessa e lignificada, são muito pouco digeridos (Akín, 1989; Wilson, 1993).

A estrutura anatômica de gramíneas do tipo C4, caracterizada por elevadas proporções de feixes vascularares, esclerêncima e banha parenquimática dos feixes, compromete o valor nutritivo destas plantas (Wilson, 1997).

A quantificação da área ocupada pelos tecidos em uma seção transversal, apesar de bom indicativo do valor nutricional, ignora diferenças de composição química e espessura da parede celular, o que limita o valor da proporção de tecidos como indicador do valor nutritivo (Wilson, 1993). Assim, medidas da espessura da parede das células de determinados tecidos podem complementar as informações da proporção de tecidos.

Diferenças anatômicas entre lâminas foliares de diferentes níveis de inserção no perfilho têm recebido pouca atenção em trabalhos científicos. Além disso, nota-se, em alguns estudos, confundimento do efeito da nível de inserção com o da idade cronológica da folha, porque folhas de diferentes níveis de inserção diferem em idade. Wilson (1976b) mostrou que lâminas foliares de maior nível de inserção apresentaram maior proporção de esclerêncima e xilema, paredes celulares mais espessas e menor quantidade de mesofilo que lâminas localizadas na base do perfilho. O aumento da idade da folha de um mesmo nível de inserção não alterou a proporção dos diferentes tecidos, apesar de resultar em aumento da espessura da parede das células do esclerêncima, pri-

cipalmente em bainhas foliares situadas na posição superior do perfilho.

A diversidade de gramíneas forrageiras presentes nas pastagens brasileiras e o desconhecimento quase total de suas características anatômicas relacionadas ao valor nutritivo conferem grande importância aos estudos da anatomia e da digestão dos diferentes tecidos.

O objetivo desse trabalho foi a avaliar o efeito do nível de inserção e da estação do ano sobre as características anatômicas de lâminas foliares de gramíneas forrageiras e o efeito da idade sobre a anatomia da lámina e do colmo.

Material e Métodos

As gramíneas forrageiras capim-gordura (*Melinis minutiflora*), capim-tifon 85 (*Cynodon sp.*) e capim-bracuíria (*Brachiaria decumbens*) foram cultivadas em área do Departamento de Zootecnia da Universidade Federal de Viçosa, em Viçosa, Minas Gerais. Viçosa localiza-se a 20°45' de latitude sul e 42°54' de latitude oeste, a uma altitude média de 650 m. Seu clima é do tipo Cwb (classificação Koppen), clima tropical de altitude, com verões quentes e chuvosos. As principais variáveis climáticas predominantes durante a fase de avaliação do experimento são apresentadas na Tabela 1.

As gramíneas foram plantadas em novembro de 1996, em parcelas de 20 m², sendo o experimento iniciado em dezembro de 1998. Após corte de uniformização, realizado com cutedo, a altura de 5 cm acima desse, foi feita adubação em cobertura com sulfato de

Tabela 1 - Variáveis climáticas observadas durante o período experimental
Table 1 - Climatic variables observed during the experimental period

Mês/ano Month/year	Precipitação total (mm) Total rainfall (mm)	Temperatura máx. média (°C) Maximum average temperature (°C)	Temperatura min. média (°C) Minimum average temperature (°C)
Dezembro/98 December/98	105,3	28,9	18,3
Dezembro/98 January/99	154,2	30,3	18,9
Janeiro/99 February/99	88,1	29,9	18,4
Fevereiro/99 March/99	273,7	28,5	17,8
Março/99 April/99	27,6	16,1	
Março/99 May/99	36,5	25,3	12,1
Maio/99 June/99	13,2	21,8	11,5

¹Parâmetro de isolamento do material para a análise anatômica, propriedade da UFGV.
²Coordenador do Pós-Graduação em Ciências Agrárias da UFGV.
³Professor da UFGV.
⁴Professor do Departamento de Biologia Vegetal - UFGV - Viçosa - MG.
⁵Pesquisador da EPAMIG - UFGV - Viçosa - MG.
⁶Bolsista de Pós-Graduação da CAPES - UFGV - Viçosa - MG.

amônio (60 kg/ha de N), cloreto de potássio ($60 \text{ kg/ha de K}_2\text{O}$) e superfosfato simples ($80 \text{ kg/ha de P}_2\text{O}_5$). Foram selecionados e identificados com anéis de mesma coloração quatro grupos de 10 perfiltos em cada parcela. O critério para orientar a colheita dos perfiltos baseou-se no nível de inserção e na idade da folha. Os perfiltos foram vistoriados periodicamente para se determinar o momento da colheita. No primeiro grupo de dez perfiltos coletou-se a 3^a folha, da base para o topo, do perfilho de capim-braquiatia e capim-gordura e a 4^a folha de capim-tifon 85 (folhas de nível de inserção inferior), no momento da completa expansão (idade 0), caracterizado pelo aparecimento da lígula. No segundo grupo de perfiltos, foram retiradas folhas de nível de inserção inferior, porém 20 dias após o aparecimento da lígula (idade 20). No terceiro grupo de perfiltos, coletou-se a 7^a folha de capim-braquiatia e capim-gordura e a 11^a de capim-tifon 85 (folhas de nível de inserção superior) na idade 0. No quarto grupo de perfiltos, amostraram-se folhas na idade 20 e situadas no nível de inserção superior. A colheita de cada grupo de perfiltos foi realizada em um mesmo dia para as três espécies.

Foi amostrado apenas o segmento de colmo localizado imediatamente abaixo da folha de nível de inserção superior, tendo em vista que, no momento da colheita, a folha de nível de inserção inferior, o colmo não havia sido formado, existindo apenas pseudocolmo. No momento da colheita, os segmentos de colmo apresentavam seis tecidos diferenciados. Por isso, aqueles associados às folhas recentemente expandidas foram chamados de colmos jovens e os associados às folhas com 20 dias de idade foram chamados de colmos em idade avançada.

Foram realizadas avaliações em duas estações de crescimento, visando identificar os possíveis efeitos dos fatores climáticos sobre as características avaliadas. Nos meses de dezembro/98 e janeiro/99 foram amostrados os perfiltos do crescimento de verão. No final do mês de março as plantas foram novamente cortadas e adubadas (injetos) níveis aplicados para o crescimento de verão. Nos meses de maio e junho de 1999, colheram-se amostras de perfiltos do crescimento de outono (Tabela 2).

Foram realizadas irrigações na área experimental sempre que se observava período de uma semana sem chuva.

As avaliações anatômicas foram desenvolvidas no laboratório de Anatomia, pertencente ao Departamento de Biologia Vegetal da UFV.

No momento pré-determinado (dia do aparecimento da lígula ou 20 dias após o aparecimento da lígula), os perfiltos foram colhidos para a obtenção das lâminas foliares e dos segmentos de colmo da seção transversal e as áreas das demais folhas da lâmina e do segmento de colmo de interesse às análises anatômicas. De uma porção mediana da lâmina e do segmento de colmo amostrados, foi retirado um fragmento de aproximadamente 1 cm, que foi colocado em fixador FAA 50 (formol a 40%, álcool a 50% e ácido acético glacial), em uma proporção aproximada, volume do fixador/volume de tecido vegetal, de 20 a 30 vezes.

Três fragmentos de cada fração (lâmina foliar e colmo) foram submetidos à série alcóolica progressiva para desidratação. Após inclusão em "paraplast", os fragmentos foram sectionados transversalmente a 10 μm , com uso de microtomo rotatório, desparafinizados, estetizando-se a coloração quadriplâtrica dos tecidos (Hagquist, 1974) e a montagem de lâminas permanentes.

A avaliação da contribuição de cada tecido para a área total da seção foi realizada em uma área entre dois feixes vasculares maiores, incluindo um deles, localizada na porção mediana entre a nervura principal e a margem da lâmina foliar. No colmo, foi avaliada uma região entre o centro e a epiderme. A mensuração dos tecidos foi feita com auxílio do microscópio de luz e do Software de Análise de Imagens, modelo Image Pro Plus versão 1.3. Na lâmina foliar, foram medidas as áreas das epidermes (EPI) (adaxial e abaxial), do esclerênquima (ESC), da bainha parenquimática dos feixes vasculares (BPF),

do xilema mais fibras associadas (XIL) e do floema (FLO). A região do mesofilo (MES) (parenquima clorofítano) foi calculada pela diferença entre a área total da seção transversal e as áreas dos demais tecidos. No colmo, foram mensuradas as áreas da EPI, XIL, FLO, ESC e parêncima (PAR). Na Figura 1, são mostradas seções transversais da lâmina foliar e do colmo, com indicação dos tecidos avaliados.

Avaliações da espessura da parede das células do ESC e dos vasos de metaxilema (MET) na lâmina e no colmo foram realizadas em 20 células, por repetição. Foram medidas as paredes das células de ESC, associadas aos feixes vasculares maiores, na lâmina foliar, e aquelas situadas entre dois feixes, no colmo. Os vasos de MET foram medidos nos feixes vasculares maiores.

Figura 1 - Seções transversais de lâmina foliar de capim-tifon 85 (A) e de colmo de capim-braquiatia (B). EPI – epiderme, ESC – esclerênquima, BPF – bainha parenquimática dos feixes, MES – mesofilo, PAR – parêncima, XIL – xilema e FLO – floema. (A) — 25 μm e B — 50 μm .

Resultados e Discussão

A proporção de EPI do colmo, que foi de 2,8% da seção transversal, não variou com os fatores estudados.

O efeito de estação sobre as proporções de XIL e FLO não foi consistente (Tabela 3). Assim, maiores proporções foram observadas no verão, para o capim-tifon 85, e no outono, para o capim-gordura, enquanto, em capim-braquiatia, as proporções de XIL e FLO não variaram com a estação do ano. Em qualquer das estações, o capim-gordura apresentou maiores proporções de XIL e FLO.

A proporção de PAR variou ($P < 0,01$) inversamente com a idade do colmo, em capim-gordura, e não foi influenciada ($P > 0,05$) pela estação do ano, senão em capim-tifon 85, em que maior proporção foi observada no outono (Tabela 4). Por outro lado, a área relativa de ESC aumentou ($P < 0,05$) com o avanço da idade e foi maior, em geral, na estação do verão (Tabela 5). O colmo de capim-gordura exibia uma baixa proporção de ESC, quando jovem, e a mais alta, quando em idade mais avançada.

O aumento de proporção de ESC, com o avanço da idade, pode ser atribuído às alterações sofridas pelas células parenquimáticas durante o desenvolvimento do colmo. Colmos jovens são altamente digestíveis (Hackher & Minson, 1981), mas, com o desenvolvimento, parte das células parenquimáticas apresenta progressivo espessamento e lignificação da parede, formando um rígido e indigestível anel de células esclerênquimáticas. Este comportamento está relacionado à intensa redução na digestibilidade de colmos, com o avançar da idade.

O registro das imagens foi realizado copiando-se as imagens armazenadas na memória do computador para um disco flexível de 3,5".

Os resultados referentes à proporção de tecidos e espessura da parede celular foram submetidos à análise de variância, utilizando-se o programa SAE-G - Sistema de Análises Estatísticas e Genéticas (Universidade Federal de Viçosa - UFV, 1995), para

verificação dos efeitos da espécie, da idade e da estação de crescimento, para as lâminas foliares e os colmos, além do efeito do nível de inserção no perfilho, para as lâminas, apenas.

As interações significativas foram desdobradas e as médias, comparadas pelo teste de Tukey a 5% de probabilidade.

Tabela 2 - Datas de colheitas dos perfiltos, de acordo com a idade da folha e seu nível de inserção no perfilho

Nível de inserção	Idade (Dias)	Data da colheita
Level of insertion	Age (Days)	Date of harvest
Inferior	0	20/12/1998
Lower	20	09/01/1999
Superior	0	10/01/1999
Upper	20	30/01/1999
Inferior	0	03/05/1999
Lower	20	23/05/1999
Superior	0	30/05/1999
Upper	20	19/06/1999

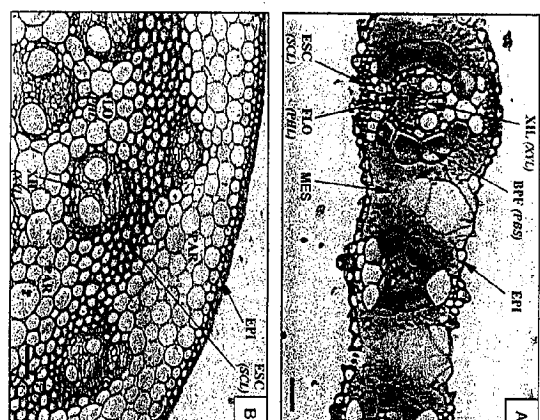


Figura 1 - Seções transversais de lâmina foliar de capim-tifon 85 (A) e de colmo de capim-braquiatia (B). EPI – epiderme, ESC – esclerênquima, BPF – bainha parenquimática dos feixes, MES – mesofilo, PAR – parêncima, XIL – xilema e FLO – floema. (A) — 25 μm e B — 50 μm .

Figure 1 - Transverse sections of leaf blade of bermudagrass tifon 85 (A) and signalgrass stem (B). EPI – epidermis, ESC – sclerenchyma, BPF – sheath, MES – mesophyll, PAR – parenchyma, XIL – xylem and FLO – floema. (A) — 25 μm and B — 50 μm .

espécie species	Estação de crescimento Season of growth		
	Verão Summer	Outono Autumn	Inverno Winter
<i>Z. capim-braquária</i>	15,6 ^B a	16,7 ^B a	XII (XVII)
<i>Z. nigra grass</i>	24,8 ^B b	27,6 ^A a	
<i>Z. capim-gordura</i>			
<i>Z. latifolies grass</i>	15,2 ^B a	12,5 ^C b	
<i>Z. capim-tifton 85</i>			
<i>Z. tenuimodesta grass tifon 85</i>			
<i>Z. capim-braquária</i>	3,4 ^B a	3,7 ^B a	FL0 (PHL)
<i>Z. nigra grass</i>	4,2 ^B b	4,8 ^A a	
<i>Z. latifolies grass</i>			
<i>Z. capim-tifton 85</i>	3,9 ^A a	3,1 ^B b	
<i>Z. tenuimodesta grass tifon 85</i>			

Letras seguidas de letras diferentes, minúsculas nas linhas e maiúsculas nas colunas, em cada tecido, diferem ($P<0,05$) pelo teste de Tukey.

Letras seguidas de letras diferentes, small in the row and capital in the column, for each tissue, are different ($P<0,05$) by Tukey test.

com a colheita de crescimento, com exceção da maior elevada ($P < 0,05$) proporção XII em linhagens colhidas no verão (6,4%), quando comparadas às do outono (5,1%). Os resultados obtidos neste trabalho são consistentes com a literatura, segundo a qual são pequenos e inconsistentes os efeitos da idade e de fatores climáticos sobre a proporção de tecidos de fibras foliares (Wilson et al., 1991; Pacioli et al., 1999; Queiroz et al., 2000). Por essa razão, decréscimos na digestibilidade de forrageiras, com o aumento da temperatura e o avanço do desenvolvimento, normalmente negativo que eles exercem sobre a digestão do colmo.

Tabela 4 - Proporção de parênquima (% na seção transversal) em fragmentos de colmo, conforme a estação de crescimento, a idade e a espécie

Médias seguidas de letras diferentes, minúsculas nas linhas compararam estações do ano ou idades e maiúsculas nas colunas, diferentes entre si pelo teste de Tukey.

Tribalho 5 - Documentos do Conselho de Desenvolvimento Sustentável - 895

Idade Age ²	Estação de crescimento Season of growth			Espécie Species		
	Verão Summer	Outono Autumn	Capim-bracuíaria <i>Sigalagras</i>	Capim-gordura <i>Molassesgrass</i>	Capim-tifton 85 <i>Bermudagrass tifton 85</i>	
Jovem <i>Young</i>	4,2 _a	4,0 _{Ba}	6,3 _{Ba}	2,1 _{Bb}	5,9 _{Ba}	
Avançada <i>Old</i>	11,6 _{AA}	8,7 _{Ab}	8,6 _{Ab}	13,5 _{AA}	8,1 _{ab}	

Médias seguidas de letras diferentes, minúsculas nas linhas comparar estatações de crescimento ou espécies e maiúsculas nas colunas, diferentes ($P<0,05$) pelo teste de Tukey.

mente citados na literatura, não devem ser atribuídos a alterações na proporção de tecidos da folha. Wilson et al. (1991) apontaram intensa lignificação da parede celular como o principal fator a atuar negativamente na digestibilidade de gramíneas forrageiras que se desenvolvem sob elevadas temperaturas.

A interação nível de inserção x espécie foi significativa ($P < 0,01$) para a proporção de MES, ESC e BPF (Tabela 6). As proporções de ESC e BPF foram independentes do nível de inserção. Lâminas da posição superior do perfilho apresentaram maior ($P < 0,01$) proporção de XII, independente do nível de inserção.

Tabela 6 - Proporção do esclerênquima (ESC), baixa parênquimática dos felixes (BPF) e mesofílio (MES) (%) na seção transversal em lâminas foliares, conforme a espécie e o nível de inserção de tecidos da lâmina foliar, conforme o nível de densidade da lâmina, da espécie e da estação do ano. Foram encontrados valores de 6,3 e 5,0%, respectivamente, para lâminas das posições superior e inferior do perifólio.

Os resultados mostram mudanças na proporção de tecidos da lâmina foliar, conforme o nível de

Table 6 - Sclerenchyma (SCL), parenchyma bundle sheath (PAS) and mesophyll (MES) proportions (% of transversal section) in leaf blades, according to species and level of insertion

Nível de inserção <i>Level of insertion</i>	Species	Species
Capim-braguinha <i>Signalgrass</i>	Capim-gordura <i>Molassesgrass</i>	Capim-tifão 85 <i>Bermudagrass tifion 85</i>

	ESC (SCU)
Inferior (Lower)	0.83 ^{Ab}
Superior (Upper)	1.09 ^{Ab}
Inferior (Lower)	28.7 ^{Ba}
Superior (Upper)	27.0 ^{Ba}
Inferior (Lower)	27.0 ^{Ba}
Superior (Upper)	28.7 ^{Ba}
Inferior (Lower)	22.9 ^{Ab}
Superior (Upper)	28.6 ^{Ab}
Inferior (Lower)	2.30 ^{Ba}
Superior (Upper)	2.86 ^{Aa}

	Superior (<i>Upper</i>)	Inferior (<i>Lower</i>)	Superior (<i>Upper</i>)	Inferior (<i>Lower</i>)
	32,1 ^a		32,1 ^a	
		39,8 ^{ab}		39,8 ^{ab}
		35,8 ^b		35,8 ^b
			33,2 ^a	MES
			38,2 ^{ab}	
			29,7 ^c	
				22,1 _{Ab}
				43,7 ^{Aa}
				41,4 ^{Aa}

Means followed by different letters, small in the row and capital in the column, for each issue, are different ($P < 0,05$) by Tukey test.

Means followed by different letters, small in the row and capital in the column, for each issue, are different ($P < 0,05$) by Tukey test.

inserção da folha no perfilho. Estes dados são consistentes com os relatos de Wilson (1976b), que evidenciam um gradiente nas proporções dos tecidos da folha ao longo do perfilho de *Panicum maximum* var. trichoglume. Com base nos resultados obtidos em condições controladas de ambiente, esse autor sugeriu que a variação na anatomia da folha com o nível de inserção é um fenômeno inerente ao desenvolvimento do perfilho e, provavelmente, se expressasse em grande parte das gramíneas.

Lâminas foliares do topo do perfilho sendo mais longas (Gomide, 1997; Queiroz, 1997) necessitam de condições estruturais de ambiente, esse autor sugeriu que a variação na anatomia da folha com o nível de inserção é um fenômeno inerente ao desenvolvimento do perfilho e, provavelmente, se expressasse em grande parte das gramíneas.

Lâminas foliares do topo do perfilho sendo mais longas (Gomide, 1997; Queiroz, 1997) necessitam de forte suporte estrutural para manter sua conformação ereta, sendo este suporte fornecido, principalmente, pelo XIL e pelo ESC associado. Assim, as percentagens de ESC e XIL na seção transversal da lâmina foliar mostraram altas correlações ($r = 0.93$ e 0.95 , respectivamente) com o tamanho da folha (Wilson, 1976b). Tais tecidos são resistentes à digestão, o que explica, em parte, a menor digestibilidade de lâminas de mais altos níveis de inserção, quando comparadas em uma mesma idade, com lâminas da base do perfilho (Wilson, 1976a; Paciullo et al., 2001).

A espessura da parede de células do ESC aumentou ($P < 0.01$) com o avanço da idade e foi maior, em geral, na estação do verão (Tabela 7 e Figura 2), embora só tenha sido observada significância para efeito de estação em fragmentos de colmo de capim-braquária e capim-tifon 85 em idade avançada. Considerando o avanço na idade do colmo de 20 dias e a média dos

valores das duas estações (verão e outono), verifica-se que o aumento na espessura da parede celular e as taxas de espessamento foram, respectivamente, de $1.83 \mu\text{m} \times 0.09 \mu\text{m}/\text{dia}$ para capim-tifon 85, $1.23 \mu\text{m} \times 0.06 \mu\text{m}/\text{dia}$ para capim-gordura e $1.20 \mu\text{m} \times 0.06 \mu\text{m}/\text{dia}$ para capim-braquária.

A espessura da parede dos vasos de MET (Tabela 7) aumentou ($P < 0.05$) com a idade, porém os incrementos de 0.22 , 0.46 e $0.11 \mu\text{m}$, respectivamente, para capim-braquária, capim-gordura e capim-tifon 85, foram substancialmente menores que os observados em células do ESC.

A utilização da coloração quádrupla triarca permitiu detectar a presença de sítios de lignificação na parede celular. Com o avanço do desenvolvimento, observaram-se no ESC, além dos aumentos na espessura da parede celular, incrementos na lignificação, principalmente no verão.

Lâminas recente-expandidas de capim-braquária apresentaram maior ($P < 0.05$) espessura da parede das células do esclerêngima, enquanto, em lâminas com 20 dias de idade, não se observou diferença entre as espécies (Tabela 8). A espessura da parede em células do ESC aumentou ($P < 0.05$) com a idade em capim-tifon 85 e capim-gordura, não se alterando, contudo, em capim-braquária.

Lâminas do nível de inserção superior do perfilho apresentaram paredes celulares mais espessas ($P < 0.05$) que lâminas da base. Os valores foram de 2.01 e $1.41 \mu\text{m}$, para espessura das paredes do ESC,

Tabela 7 - Espessura da parede (μm) das células do esclerêngima (ESC) e de vasos de metaxilema (MET) em fragmentos de colmo, conforme a idade, a estação de crescimento e a espécie
Table 7 - Cell wall thickness (μm) of sclerenchyma (SC) and metaxylem vessels (ME) in stem fragments, according to age, season of growth and species

Idade Age	Estação de crescimento Season of growth	Espécie Species		
		Capim-braquária <i>Signalgrass</i>	Capim-tifon 85 <i>Molassesgrass tifon 85</i>	ESC (SC)
Jovem Young	Verão (Summer)	1.43 ^{Ab}	1.28 ^{Ab}	0.89 ^{Ab}
	Outono (Autumn)	1.29 ^{Ab}	1.07 ^{Ab}	0.63 ^{Ab}
	Verão (Summer)	3.74 ^{Aa}	2.72 ^{Ab}	2.08 ^{Ac}
	Outono (Autumn)	2.64 ^{Ba}	2.03 ^{Bb}	1.90 ^{Ab}
Avançada Advanced	MET			
	Jovem Young	1.71 ^{Ba}	1.31 ^{Bb}	1.54 ^{Aa}
	Avançada Old	-	1.77 ^{Ab}	1.65 ^{Ab}
	Old			

Médias seguidas de letras diferentes, minúsculas nas linhas comparam espécies e maiúsculas nas colunas, em cada tecido, diferem

($P < 0.05$) pelo teste de Tukey.
Means followed by different letters, small in the row compare species, and capital in the column for each tissue, are different ($P < 0.05$) by Tukey test.

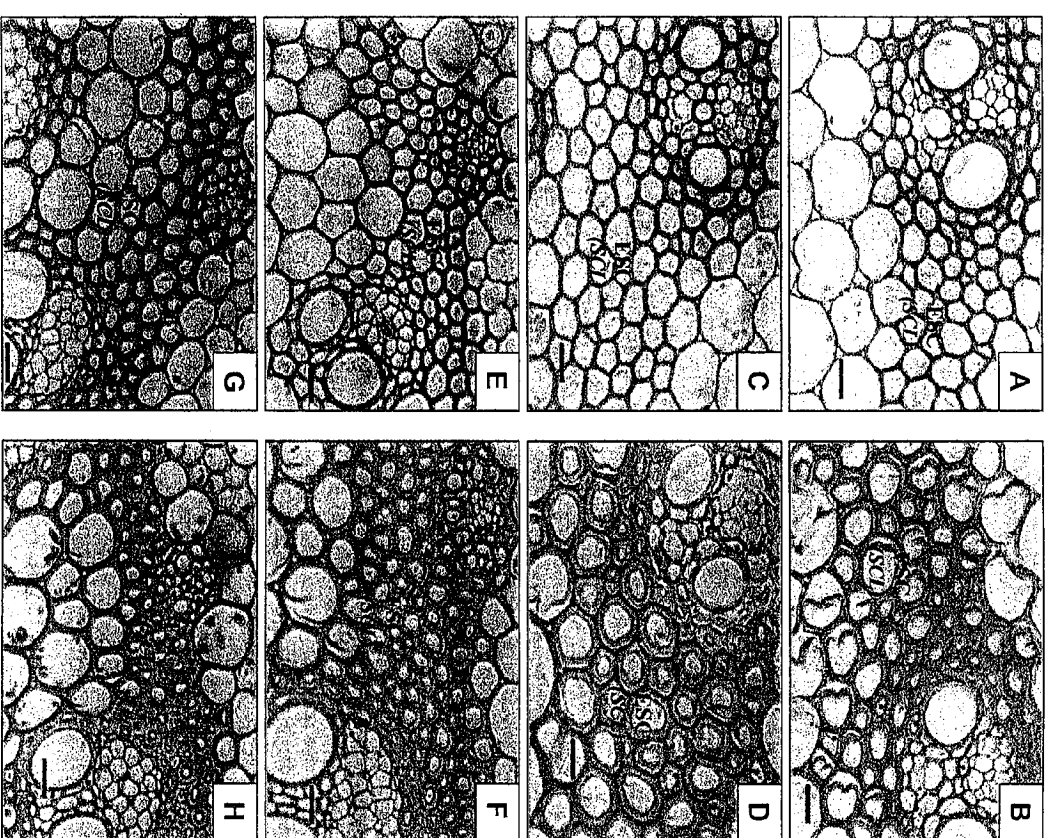


Figura 2 - Secções transversais de fragmentos de colmo mostrando aumento da espessura da parede de células do esclerêngima (ESC). (A) e (C) colmo jovem de capim-braquária no outono e verão, respectivamente; (B) e (D) colmo em idade avançada de capim-tifon 85 no outono e verão, respectivamente; (E) e (G) colmo em idade avançada de capim-tifon 85 no outono e verão, respectivamente; (F) e (H) colmo em idade avançada de capim-tifon 85 no outono e verão, respectivamente. (—) 15 μm .
(C) young stem of signalgrass in autumn and summer, respectively; (B) and (D) old stem of bermudagrass Tifon 85 in autumn and summer, respectively. (E) and (G) young stem or bermudagrass Tifon 85 in autumn and summer, respectively. (F) and (H) old stem of bermudagrass Tifon 85 in autumn and summer, respectively. (—) 15 μm .

898 • Características Anatomáticas da Lâmina Foliar e do Colmo de Gramíneas Forrageiras Tropicais, em...

Tabela 8 - Espessura da parede (μm) de células do escorço enxaimado de lâminas foliares, conforme a idade e a espécie
Table 8 - Sclerenchyma cell wall thickness (μm) in leaf blades, according to age and species

Idade (dias) Age (days)	Capim-braquífera <i>Sigonopogon</i>	Espécie Species	
		Capim-gordura <i>Molinia graminifolia</i>	Capim-tifton 85 <i>Bernardograss tifton 85</i>
0	1,73 Aa	1,56Bb	1,62Bb
20	1,78Aa	1,76Aa	1,80Aa

Medias seguidas de letras diferentes minúsculas nas linhas e maiúsculas nas colunas, diferem ($P < 0,05$) pelo teste de Tukey.
Means followed by different letters, small in the row and capital in the column, are different ($P < 0,05$) by Tukey test.

e de 1,30 e 1,06 μm , para espessura das paredes do MET, respectivamente, para lâminas das posições superior e inferior do perfilho. Tal comportamento reforça a hipótese de que lâminas do nível de inserção superior, por serem mais longas, apresentam estrutura de suporte mais desenvolvida, com maior proporção de tecidos de sustentação (ESC e XIL) e paredes celulares mais espessas.

As diferenças na anatomia das espécies avalizadas sugerem variações na qualidade das gramíneas. A grande diversidade de espécies forrageiras utilizadas em sistemas de exploração de bovinos evidencia a possibilidade de avaliações das características anatômicas, não somente para estimativa do valor nutricional de forrageiras, mas também para orientação em trabalhos de melhoramento genético. Wilson (1997) sugere a possibilidade de seleção de espécies forrageiras baseada em algumas características anatômicas, tais como frequência de estrutura "girder" na lâmina foliar, proporção de ESC, espessura da parede celular, sinuosidade das paredes de células da epiderme, entre outras. Tais características anatômicas podem ser trabalhadas em programas de melhoramento, visando obtenção de gramíneas forrageiras de melhor qualidade.

Conclusões

A proporção de tecidos da lâmina foliar não variou após sua completa expansão, mas a anatomia do colmo alterou-se em função de sua idade.

Lâminas foliares de mais alto nível de inserção apresentaram maior porcentagem de tecidos de sustentação e células com paredes mais espessas que lâminas da base do perfilho.

Segmentos de colmos apresentaram maior porcentagem de escleréquia e paredes celulares mais espessas no verão.

- WILKINS, R.J. The potential digestibility of cellulose in grasses and its relationships with chemical and anatomical parameters. *Journal of Animal Science*, v.78, n.3, p.457-464, 1991.
- WILSON, J.R. Variation of leaf characteristics with level of insertion on a grass tiller. I. Development rate, chemical composition, and dry matter digestibility. *Australian Journal of Agriculture Research*, v.27, n.3, p.343-354, 1976a.
- WILSON, J.R. Variation of leaf characteristics with level of insertion on a grass tiller. II. Anatomy. *Australian Journal of Agriculture Research*, v.27, n.3, p.355-364, 1976b.
- WILSON, J.R. Organization of forage plant tissues. In: IUNG, H.G.; BUXTON, D.K.; HATFIELD, R.D. (Eds.) et al. *Forage cell wall structure and digestibility*. Madison: American Society of Agronomy, Crop Science Society of America, Soil Science Society of America, 1993, p.1-32.

WILSON, J.R. Structural and anatomical traits of forages influencing their nutritive value for ruminants. In: SIMPOSIÓ INTERNACIONAL SOBRE PRODUÇÃO ANIMAL EM PASTELLO, 1997, Viçosa, MG. Anais... Viçosa, MG: Universidade Federal de Viçosa, 1997, p.173-208.

- AKIN, D.E. Histological and physical factors affecting digestibility of forages. *Agronomy of Journal*, v.81, n.1, p.17-25, 1989.
- AKIN, D.E.; AMOS, H.E.; BARTON, F.E. et al. Rumen microbial degradation of grass tissue by scanning electron microscopy. *Agronomy of Journal*, v.65, n.5, p.823-828, 1973.
- CHESSON, A.; STEWART, C.S.; DALGARNO, et al. Degradation of isolated grass mesophyll, epidermis and fibre cell wall in the rumen and by cellulolytic rumen bacteria in axenic culture. *Journal Applied Bacteriology*, v.60, n.4, p.327-336, 1986.
- GOMIDE, C.A.M. Morfogênese e análise de crescimento de quatro cultívaras de *Panizum maximum* cultivadas em vaso. Viçosa: MG: Universidade Federal de Viçosa, 1997. 53p. Dissertação (Mestrado em Zootecnia) - Universidade Federal de Viçosa, 1997.
- HACKER, J.B.; MINSON, D.J. The digestibility of plant parts. *Herbage Abstracts*, v. 51, n.9, p.459-482, 1981.
- HAGQUIST, C.W. Preparation and care of microscope slides. *AMERICAN Biology Teacher*, v.36, p.44-47, 1974.

- PACIULLO, D.S.C.; MATTOS, J.L.S.; GOMIDE, J.A.; et al. 1999. Proporção de tecidos e espessura da parede celular em espécies de bráquiaria, cultivadas sob diferentes níveis de umidade no solo. In: REUNIÃO ANUAL DA SOCIEDADE BRASILEIRA DE ZOOTECNIA, 36, 1999, Porto Alegre, Anais... São Paulo: Sociedade Brasileira de Zootecnia/Genotecnologia, 1999. CD-ROM. Forragicultura.
- PACIULLO, D.S.C.; GOMIDE, J.A.; QUEIROZ, D.S., et al. Composição química e digestibilidade "in vitro" de lâminas foliares e colmos de gramíneas forrageiras, em função do nível de inserção no perfilho, da idade e da estação de crescimento. *Revista Brasileira de Zootecnia*, v.30, n.3, S.1, p.944-974, 2001.

- QUEIROZ, D.S. Características anatômicas, químicas e digestibilidade *in vitro* de três gramíneas forrageiras. Viçosa, MG: Universidade Federal de Viçosa, 1997. 90p. Tese (Doutorado em Zootecnia) - Universidade Federal de Viçosa, 1997.

- QUEIROZ, D.S.; GOMIDE, J.A.; MARIA, J. Avaliação da folha e do colmo de topo e base de perfilhos de três gramíneas forrageiras. 2. Anatomia. *Revista Brasileira de Zootecnia*, v.29, n.1, p.61-68, 2000.

- UNIVERSIDADE FEDERAL DE VIÇOSA - UFV. SAEQ. Sistemas de Análises Estatísticas e genética. Viçosa, MG, 1995. (Apostila)